ПРОЦЕССЫ АТОМНОГО ПЕРЕМЕШИВАНИЯ И РАСПЫЛЕНИЯ ПРИ ОБЛУЧЕНИИ СТРУКТУР AI-Cu ИОНАМИ Ar⁺, Kr⁺, Xe⁺

В.В.Тульев, И.С.Ташлыков

Белорусский государственный **технологический университет** 220630 Беларусь, г.Минск, ул.Свердлова 13а, тел.(017)2271091, факс.(017)2276217, 2261075

Изучено воздействие ускоренных ионов Ar*, Kr*, Xe* на процессы перемешивания и распыления компонентов в структу рах Al-Cu. Слоистые структуры Al-Cu были получены методом термического напыления в вакууме меди на апюмине вую матрицу. Послойный анализ облученных структур выполнялся методом резерфордовского обратного рассеяни ионов гелия с применением компьютерного моделирования.

I. Введение

STORES WESTERN TO SECURIOR SOLVEN шиванию структуру подложка-пленка оолучают ускоренными ионами, изучая, как правило, взаимопроникновение атомов в области межфазной границы. Перемешивание ионным лучком может заменить ионную имплантацию высоких доз в области коррозии, износостойкости и усталостной устойчивости. Существует два альтернативных метода. Первый заключается в осаждении слоя материала на подложку, с последующим перемешиванием атомов бомбардировкой ионов [1-3]. Второй - в ионно-ассистированном нанесении пленки, где в качестве ионов, перемешивающих осаждаемое покрытие, используются ионы инертных газов [4,5] или ионы материала покрытия [6]. Интерес представляет вопрос о взаимопроникновении компонентов покрытий на границе раздела подложка-пленка при облучении ускоренными ионами формируемых структур, а также эффективность атомного перемешивания в условиях, когда в каскадах столкновений выделяется разная плотность энергии. При ионном облучении формируемых структур наряду с эффектами перемешивания атомов, структурно-фазовых перестроек, также чувствительных к плотности выделенной энергии [7], происходит дополнительно распыление поверхности мишени, что накладывает ограничения на практическое применение атомного перемешивания.

II. Основная часть

В работе изучалось перемешивание между атомами Al и Cu на границе раздела алюминия с нанесенным на него покрытием меди при облучении подготовленных структур ионами Ar⁺, Кr⁺, Хе⁺ .Для нанесения на алюминий пленки меди толщиной (10 ± 1) нм использовали метод электронно-лучевого разогрева и испарения материала в вакууме 2х10-6 мм.рт.ст. Подготовленные структуры Al-Cu облучали ионами Ar⁺ с энергией 20 кэВ, ионами Кг⁺ и Хе⁺ с энергией 30 кэВ и интегральными потоками (D) от $2.0*10^{15}$ см⁻² до 3.0*10¹⁶ см⁻². Плотность ионного тока составляла $\sim 2 \text{ мкA/cm}^2 \text{ (Kr}^+, \text{Xe}^+) \text{ и} \sim 5 \text{ мкA/cm}^2 \text{ (Ar}^+). Энергии$ ионов аргона, криптона, ксенона выбирались таким образом, чтобы максимум выделенной энергии приходился на границу раздела пленкаподложка.

Композиционный состав на границе подложка-пленка исходных и облученных ионами Ar⁺, $\mathrm{Kr}^{\scriptscriptstyle +}$, $\mathrm{Xe}^{\scriptscriptstyle +}$ структур Al-Cu с его профилированием годом резерфордовского поставления исследовали методом резерфордовского

обратного выседния и монов телия с МэВ. Спектры РОР снимались в условиях мизации элементного анализа (θ = 165°, θ = 15°).

Экспериментальные спектры РО структур Al-Cu, облученных ионами Хе, пог на рис.1. После облучения структур Al-Cu и ксенона потоками от 2.0*10¹⁵ см⁻² до 1.5*10 происходит уменьшение интегрального в обратного рассеяния от меди и сигнал от а ния сдвигается в сторону больших номерог лов. Оба эффекта отражают процесс распы поверхности облучаемой структуры. Эфф ность распыления можно оценить коэфф том распыления S, который показывает с количество атомов эмитированных с повер при падении на нее одного иона. На сг РОР структур Ai-Cu, облученных ионами также наблюдается смещение сигнала от матрицы и уменьшение выхода обратног сеяния от атомов пленки.

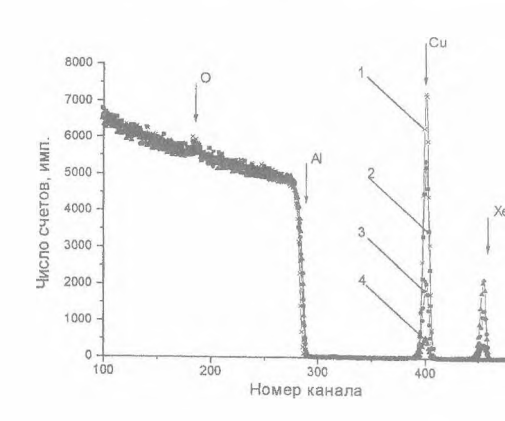


Рис.1. Спектры обратного рассеяния ионов гел системы Al-Cu до (1) и после (2-4) облучения ксенона с энергией 30 кэВ интегральными потока 2×10^{15} см⁻²; $3-6\times10^{15}$ см⁻²; $4-1.5\times10^{16}$ см⁻².

Коэффициенты распыления меді считанные при анализе спектров РОР иок лия (S^{pac}) ривет This document has been е дены тес ретичес edited with Infix PDF editor чекоэффициентов расправания при облуч То remove this notice, visit: X Следует от итть <u>шшш icent.com/unlock.htm</u> ни

ретических и экспериментальных коэффициентов распыления. Мы полагаем, что из-за достаточно малой толщины слоя меди на поверхности при ионном облучении Al-Cu структур происходит практически одновременно распыление алюминиевой матрицы и легких примесей, что повидимому, и является причиной уменьшения экспериментально измеренный значений S по сравнению с теоретическими. Этот эффект отчетливо проявляется, когда увеличивается длительность облучения, то есть увеличивается интегральный поток ионов.

Таблица Количественные характеристики состава структур, полученные до и после облучения структуры AI-Cu ионами Ar*, Kr*, Xe*, коэффициенты распыления и плотность выделенной энергии при торможении ионов в AI и Cu.

Структура	Al- Cu	(Al-Cu)+Ar ⁺				(Al-Cu)+Kr ⁺			(Al-Cu)+Xe [†]		
№ образца		1	2	3	4	I	2	3	1	2	3
D, 10 ¹⁵ cm ⁻²	-	3.0	6.0	15.	30.	2.0	6.0	15.	2.0	6.0	15.
(Nt) _{Cu} , 10 ¹⁶ cm ⁻²	9.5	8.5	6.5	4.0	1.9	7.9	4.6	1.7	7.4	3.1	0.8
(Nt), 1016 cm-2	-	2.4	4.7	11.	20.	1.6	5.2	11.	1:5	5.0	8.1
(Nt) ₀ , 10 ¹⁶ cm ⁻²	7.1	5.9	7.7	5.7	3.3	6.3	8.5	4.2	3.8	8.1	2.8
(Nt) _O /(Nt) _{Cu}	0.75	0.7	1.2	1.4	1.7	0.8	1.8	2.5	0.5	2.6	3.5
S _{Cu} , атом нон	-	3.3	5.0	3.7	2.5	8.0	8.2	5.2	10.	10.	5.8
стеор. атом	**	7.0				10.4			10.8		
S ^{теор.} , атом	-	3.5				6.2			7.0		
(A) 3B атом	-	0.2				2.9			3.8		
⊕ _{Al} , arom	-	0.03				0.2			0.51		

Используя компьютерное моделирование, были построены концентрационные профили композиционного структур Al-Cu после облучения (рис.2-4). При облучении ионами Кг (рис.2) наблюдается наиболее глубокое проникновение атомов Cu в алюминиевую матрицу при наименьшем потоке 2.0*10¹⁵ см⁻². Подобный характер в распределении меди наблюдается и при облучении структур Al-Cu ионами Xe.

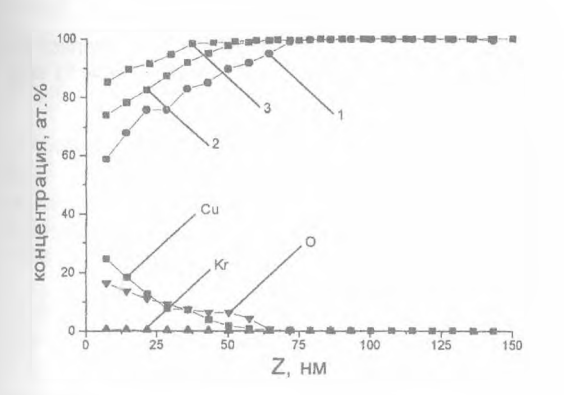


Рис.2. Профили распределения алюминия по глубине в структурах Al-Cu после облучения ионами криптона с энергией 30 кэВ и интегральными потомати 4 22 см-2 2 см-2 3 см-2 2 см-2 3 см-2 2 см-2 3 см-2 3

В случае имплантации ионов Ar наибольшее прс никновение атомов пленки меди в алюминиевун матрицу наблюдается при интегральном потоке ионов 1.5*10¹⁶ см⁻².

На рис.3 представлены концентрационные профили элементов в структурах Al-Cu, облученных ионами Ar, Kr, Xe интегральными потоками $\sim 6*10^{15}$ см $^{-2}$.

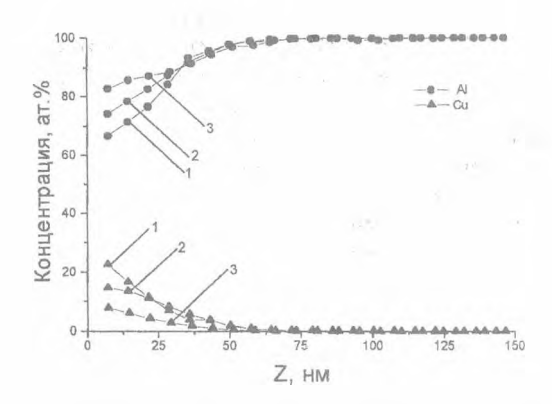


Рис.3. Профили распределения алюминия и меди по глубине в структурах Al-Cu после облучения ионами аргона - 1, криптона - 2, ксенона - 3 при интегральном потоке - $6*10^{15}$ см $^{-2}$.

Анализируя полученные зависимости, следует отметить, что наиболее глубокое проникновение меди в алюминиевую матрицу достигается в случае облучения ионами Аг и Кг, однако при облучении ионами Аг содержание Си в алюминии выше, чем после облучения ионами криптона. При облучении структур Al-Cu потоками ионов ~1.5*10¹⁶ см⁻² наиболее глубокое проникновение атомов меди в матрицу наблюдается также для ионов Аг, но когда D составляет ~2-3*10¹⁵ см⁻² наибольшая глубина распространения Си в алюминиевую матрицу достигается при облучении ионами Кг.

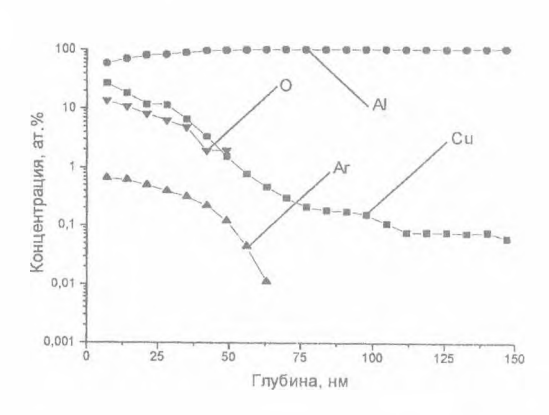


Рис.4. Профили распределения компонентов по глубине в структуре Al-Cu после облучения. This document has been sheprueй 20 кэВ при интегральном после edited with Infix PDF editor.

- free for non-commercial use
To remove this notice, visit:
www.iceni.com/unlock.htm

ствует активации миграционных процессов, т.е. диффузии атомов Си вглубь, сопровождается увеличением коэффициента распыления. Поэтому при возрастании интегральных потоков ионов, особенно тяжелых Кг и Хе, эффект распыления преобладает, см. таблицу.

При атомном перемешивании структур Cu-Al ионами аргона, криптона, ксенона наблюдается появление в структурах достаточно высоких концентраций кислорода в анализируемых слоях (таблица). Причем, несмотря на явное распыление поверхности, относительная концентрация кислорода $(Nt)_{O}/(Nt)_{Co}$ в облученных образцах растет по величине от 0.5-0.7 до 1.7-3.5 по мере увеличения интегрального потока всех использованных ионов (таблица). Вместе с тем установлено, что глубина проникновения меди в алюминиевую матрицу превышает в 2-3 раза глубину проникновения детектируемого количества кислорода (рис.4). Обнаруженный эффект, повидимому, можно связать с влиянием типа химической связи: ионной у кислорода и металлической у меди на диффузию атомов О и Си в алюминии.

III. Заключение

Таким образом при облучении структур AI-Cu ионами Ar с энергией 20 кэВ, Kr, Xe с энергиями 30 кэВ и интегральными потоками 2.0*10¹⁵ - 3.0*10¹⁶ см⁻² происходит интенсивное распыление материала пленки в сочетании с процессами перемешивания атомов пленки и подложки. При перемешивании систем AI-Cu оптимальным представляется режим с использованием ионов Ar и интегральных потоков ~ 1.5*10¹⁶ см⁻², так как при

этих потоках обеспечивается достаточно глубокое проникновение атомов меди в алюминиевую матрицу, и сравнительно малое распыление материала пленки.

При перемешивании структур Al-Cu ускоренными ионами Ar, Kr, Xe происходит 2-3 кратное возрастание относительной концентрации кислорода. При этом в соответствии с концентрационными профилями глубина его проникновения меньше, чем у меди. Различная глубина распространения атомов О и Сu в алюминии, повидимому, обусловлена влиянием типа химической связи атомов кислорода и меди на эффективность ионно-индуцированных процессов диффузии при атомном перемешивании.

Список литературы

- 1. Battaglin G., Bertoncello R., Granozzi, Fagherazzi G., LorussoS., Mengucci P. // Mater. Sci. and Eng. A. -1989. V.115. -P.165.
- 2. Battaglin G., Lorusso S. // J. Less-Common Metals. 1988. -V.145. -№ 1-2. -P.513.
- 3. Demaree J.D., Was G.S., Sorensen N.R. // Nuclear Instruments and Methods in Physics Research. -1991. V.59/60. -P.757.
- 4. Wolf G.K. // Surface and Coatings Technology. -1990. V.43/44. -P.920.
- 5. Вольф Г., Ташлыков И.С., Эндерс Б. // Тез.докл. XXII совещания по физике взаимодействия заряженных частиц с кристаллами. -М.: Изд-во МГУ, -1992. -С.98.
- 6. Тульев В.В., Куликаускас В.С., Ташлыков И.С. // Поверхность. Физика, химия, механика. -1995. -№ 9. -С.45. 7. Jaouena C. // Solid State Phenomena. -1992. -V.23/24. -P.123.
- 8. Matsunami Noriaki et.al. // TPPJ-AM. -1984. -V.9E. -P.1.

ION BEAM MIXING AND SPUTTERING OF AI-Cu STRUCTURE BY ACCELERATED Ar⁺, Kr⁺, Xe⁺ IONS

V.V.Tuljev, I.S.Tashlykov Belorussian State Technological University,13-a Sverdlova str., 220630 Minsk, Belarus, tel. 2271091, fax: 2276217

The influence of the accelerated Ar, Kr and Xe ions on the efficiency of ion beam mixing processes across Al-Cu interface and sputtering of the top copper layer was studied. The mixing profiles and layer concentrations of elements were obtained by using the RBS technique and computer simulation programmes.

